

Lemberg (Ludw. Polen), Observatorium d. Technischen Hochschule.



Seismische Aufzeichnungen.

$\varphi = +49^{\circ}50'$   $\lambda = 24^{\circ}1' E$  Meereshöhe = 308m Untergrund: Sand u. Sandstein von ca. 10m Mächtigkeit darunter Kalkmergel.

Instrumente: Horizontalschwebpendel von Bosch-Dunser (zwei Komponenten)

	V	T <sub>0</sub>	$\epsilon:1$	$\frac{r}{T_0^2}$
A <sub>N</sub> :	ca. 10	30 <sup>s</sup>	5.3	0.0048
A <sub>E</sub> :	ca. 10	30 <sup>s</sup>	3.1	0.0022
A <sub>Z</sub> :				

Datum	Phase	Zeit M. Z. Greenw.			Periode	Amplitude			$\Delta$ km	Bemerkungen
		h	m	s		A <sub>N</sub> $\mu$	A <sub>E</sub> $\mu$	A <sub>Z</sub> $\mu$		
Nr. 1 9. Jan.	eP	17	42.3		2				1800	*) Hauptphase
	e*)	17	45.4							
	MN	17	49.1		5	20	10			
	F	18								
Nr. 2 18. Jan.	eP	12	15.0		4				11000	
	eY	12	26.7		6-8					
	eL	12	43.6							
	MN	12	52.5		20	215				
	ME	12	50.5		20		30			
	F	13 1/4								
Nr. 3 28. Jan.	eP	4	26.5		2				713000	*) Hauptphase
	e*)	4	40.3							
	MN	4	53.0		16	50				
	ME	4	53.5		16		15			
	F	5 1/4								
Nr. 4 2. Febr.	eP	20	7.9		4				10600	*) Hauptphase
	e*)	20	19.3							
	MN	20	34.5		16	25				
	ME	20	34.6		16		10			
	F	21								
Nr. 5 20. Febr.	eP	1	13.9		3-4				8200	
	eY	1	23.4		5-6					
	eL	ca. 1	42.1							
	MN	1	49.4		20	50				
	ME	1	49.5		20		10			
	F	2 1/4								



Lemberg (Ludw. Polen), Observatorium d. Technischen Hochschule.



Seismische Aufzeichnungen.

$\varphi = +49^{\circ} 50'$   $\lambda = 24^{\circ} 1' E$  Meereshöhe = 308 m  
 Instrumente: Horizontalschwerpendel von Bosch-Omori (zwei Komponenten)  
 Untergrund: Sand u. Sandstein von ca. 10 m Mächtigkeit darunter Kalkmergel.

	V	$T_0$	$\epsilon:1$	$\frac{r}{T_0^2}$
$A_N$ :	ca. 10	$90^{\circ}$	5.3	0.0048
$A_E$ :	ca. 10	$30^{\circ}$	3.1	0.0022
$A_Z$ :				

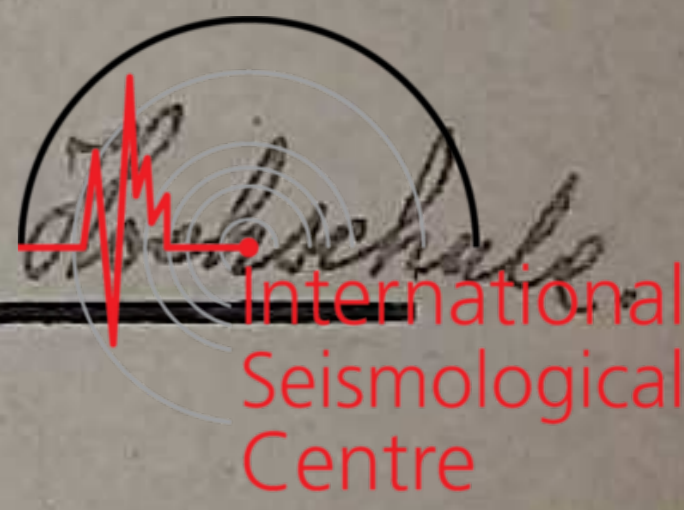
Datum	Phase	Zeit M. Z. Greenw.	Periode	Amplitude			$\Delta$	Bemerkungen
				$A_N$	$A_E$	$A_Z$		
Nr. 6 11. April	e F	10 34.1 12	s	$\mu$	$\mu$	$\mu$	km	Phaseneinteilung unkenntlich
Nr. 7 16. April	eP eF eL MN ME	20 4.5 20 14.4 20 33.6 20 36.4 20 37.5 20 31/4	2-4 8 26 26	75	25		8700	
Nr. 8 3. Mai	eP eF eL ME F	17 35.3 17 45.9 ca 18 15 18 20.6 18 3/4	4 6 24		5		9500	
Nr. 9 5. Mai	eP eF eL MN ME F	10 15.4 10 29.8 ca. 10 53 11 1.8 11 5.9 11 3/4	4-6 8 16 16	5	10		713000	
Nr. 10 23. Mai	eL MN ME F	ca. 2.8 2 52.1 2 56.6 3 1/2	16 16	35	15			Anfang & Ende un deutlich Japan



No 22-33.

vom 25. Mai 0<sup>h</sup> bis 16. Aug. 24<sup>h</sup> 1925.

Lemberg (Lwow Polen), Observatorium d. Technischen Hochschule



Seismische Aufzeichnungen.

$\varphi = +49^{\circ} 50'$

$\lambda = 24^{\circ} 1' E$

Meereshöhe = 308m

Untergrund: Sand u. Sandstein

von ca. 10m Mächtigkeit darunter Kalkmergel.

Instrumente: Horizontaleschwerpendel

von Bosch-Omori (zwei Komponenten)

	V	T <sub>0</sub>	$\epsilon : 1$	$\frac{r}{T_0^3}$
A <sub>N</sub> :	ca. 10	30 <sup>m</sup>	5.3	0.0048
A <sub>Z</sub> :	ca. 10	30 <sup>m</sup>	3.1	0.0022
A <sub>Z</sub> :				

Datum	Phase	Zeit M. Z. Greenw.			Periode	Amplitude			$\Delta$ km	Bemerkungen
		h	m	s		A <sub>N</sub> $\mu$	A <sub>E</sub> $\mu$	A <sub>Z</sub> $\mu$		
Nr. 11 29. Juni	eP	4	47.4		3					* kaum bemerkbar
3. Juni	eP	4	57.9		6				9400	
	eL*)	ca. 5 1/2								
	F	6								
Nr. 12 20. Juni	eP	13	10.1		4				7400	*) Hauptphase
	e*)	13	18.8							
	M <sub>N</sub>	13	20.5		8	25				
	M <sub>E</sub>	13	21.8		8		15			
	F	14								
Nr. 13 6. Juli	eP	12	18	47	2				1400	*) Hauptphase Dodekaresos
	e*)	12	21.2							
	M <sub>N</sub>	12	23.3		8	30				
	M <sub>E</sub>	12	23.5		8		55			
	F	12 3/4								
Nr. 14 20. Juli	eP	18	33.6		4					
	M <sub>N</sub>	18	41.0		8	130				
	M <sub>E</sub>	18	37.8		8		100			
	F	19								
Nr. 15 7. Aug.	eP	6	49.4		4				1600	*) Hauptphase
	e*)	6	52.3							
	M <sub>N</sub>	6	56.4		8	55				
	M <sub>E</sub>	6	55.9		8		55			
	F	7 1/2								



Lemberg (Lwów, Polen), Observatorium d. Technischen Hochschule



Seismische Aufzeichnungen.

$\varphi = +49^{\circ}50'$   $\lambda = 24^{\circ}1' E$  Meereshöhe = 308m Untergrund: Sand u. Sandstein von ca. 10m Mächtigkeit darunter Kalkmergel.

Instrumente: Horizontalschwerpendel von Bosch-Omor (zwei Komponenten)

	$\frac{r}{T_0^2}$	$\epsilon:1$	$\frac{r}{T_0^2}$
$A_N$ :	ca. 10	30 <sup>s</sup>	5.3
$A_E$ :	ca. 10	30 <sup>s</sup>	3.1
$A_Z$ :			

Datum	Phase	Zeit M. Z. Greenw.			Periode	Amplitude			$\Delta$ km	Bemerkungen
		h	m	s		$A_N$ $\mu$	$A_E$ $\mu$	$A_Z$ $\mu$		
Nr. 16 19. Aug.	eP	12	18.3		4			8450		
	eY	12	28.0		10-12					
	eL	12	48.6							
	M	12	53.0		16	240				
	F	13	1/2							
Nr. 17 1. Sept.	eP	8	21.9		4-6					
	M	8	26.0		8	15	20			
	F	8	3/4							
Nr. 18 13. Okt.	eP	17	51.4		4			8200		
	eY	18	1.3		8					
	eL	18	12.5							
	MN	18	14.7		20	35				
	ME	18	17.2			60				
Nr. 19 10. Nov.	eP	14	8.3		4			5800		
	eY	14	15.7		8					
	eL	14	47.8							
	M	14	54.9		20		10			
	F	15	1/2							
Nr. 20 13. Nov.	eP	12	27.4		4			9500		
	eY	12	38.0		8					
	eL	13	5.1							
	MN	13	12.4		16	15				
	ME	13	13.1		18		160			
Nr. 21 10. Dez.	e	ca. 15	8.3						Aufgang d. Erde gegen Boden von nördlicher Seite	
	M	15	14.4		18		20			
	F	15	1/2							